

$(x > x_p - \epsilon \text{ et puis } x < x_p + \epsilon)$   
ou alors  $(y > y_p - \epsilon \text{ et puis } y < y_p + \epsilon)$

La décision put apparaître dans l'implémentation d'un train tant qu'on l'eut compris comme la question de savoir si un point était dans un voisinage  $\epsilon$  des droites  $x = x_p$  ou  $y = y_p$ . Il sera dans la zone grise du dessin. Et  $T_1$  comme  $T_2$  ont validé cette décision.

FIGURE 3 – La campagne de test du train n'a bien entendu jamais couvert l'ensemble des points du plan. Seuls  $T_1$ ,  $T_2$  et  $T_3$  furent atteints. Comme ils se placeront tous à droite de  $x = x_p - \epsilon$  et au-dessus de  $y = y_p - \epsilon$ , de deux choses l'une. La décision serait inutilement complexe, et deux de ses conditions ( $x > x_p - \epsilon$  et  $y > y_p - \epsilon$ ) n'auraient servi à rien. Ou alors on avait insuffisamment testé le logiciel embarqué.

Pour éviter ce genre d'incertitude –source d'accidents, on imposa que les tests éprouvent chacune des quatre conditions de la décision. Quand on considère une sous-décision  $D_1$  et puis  $D_2$ , si on suppose que  $D_1$  est vrai et que  $D_2$  fut faux, on verra que seul  $D_2$  a eu un effet sur le résultat final (faux) : on eût beau changer  $D_1$  à faux que la décision s'évaluerait encore à faux. Il aura fallu que la campagne de test montre une telle influence de toute condition sur l'évaluation de sa décision.

Mais  $T_1$  et  $T_3$  montrèrent au moins l'influence indépendante de la condition  $x < x_p + \epsilon$ . Les deux chemins divergeront pour la dernière fois en ce point pour atteindre chacune des deux sorties possibles (*vrai* et *faux*). Le concept s'était comparé à un aiguillage puis nulle faille sensible n'apparaissait.

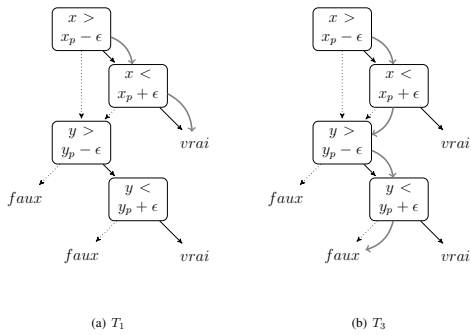


FIGURE 4 – Influence indépendante de  $x < x_p + \epsilon$ . Exercice : de quelle autre condition l'ensemble  $\{T_1, T_2, T_3\}$  montre-t-il l'influence indépendante ?